

運輸省 第二港湾建設局

正員

門司 順至

タ

正員

○船越 晴世

オリエンタルコンサルタント

正員

和田 純二

## 1 まえがき

川崎港の千鳥町の頭と扇島東の頭を結ぶ海底トンネルは、沈埋工法で施工されている。このトンネルの軸方向断面力（地震力+温度変化+弾性沈下）を求めたところ、断面積の2%程度の鉄筋量を必要とすることが明らかとなつた。このため、施工性を考慮して太径鉄筋D51を使用することとした。また、太径鉄筋の継手法としてガス圧接、アーフ溶接、諸々の機械継手等について検討したが、使用量が多くしかも狭い空間での海上作業となるため、施工および検査が容易な重ね継手を用いることとした。しかし太径鉄筋の重ね継手は、現状では使用例も少なく未解決の問題を残している。このため、重ね継手の補強法について、供試体による比較試験を行った。試験は、曲げ引張試験および曲げ引張試験よりなるが、このうち本報告は、主として後者について述べるものである。

## 2. 供試体について

供試体の種類および要因は、表-1に示す通りである。すなわち、重ね継手部に各種の補強をほどこした場合の効果を中心に調べ、あわせてコンクリート強度( $\sigma_c$ )、継手長(l)、および鉄筋の表面形状が継手部によぼす影響についても調べることとした。

供試体の形状は、図-1に示す通りである。供試体の設計にあたっては、実構造物を想定し最小鉄筋量として、コンクリート量の0.2%程度(Φ9@150)以上の配筋を配置した。スパイラル筋の形状は、施工性を考慮して、Φ9、巻径15cm、ピッチ6cm、長さ65cmとした。この配置は、重ね継手内に50cm、外に15cmとし、継手端部の双方に行った。クサビは、市販されているD51用のものを使用し、継手中央部に配置した。

$\sigma_c$ は、試験時で310kg/cm<sup>2</sup>および220kg/cm<sup>2</sup>であった。配合は、前者が、W/C=55%, C=290kg/m<sup>3</sup>、後者が、W/C=69%, C=245kg/m<sup>3</sup>である。また、使用セメントは、两者とも早強セメントで、骨材は、最大粗骨材寸法20mmの碎石を使用した。

表-1 供試体種類と試験要因

使用した鉄筋の材質は、すべてSD30である。

## 3 載荷および計測について

載荷方法は、図-1に示す通りで、200t大ジャッキ1台で行った。鉄筋は、オジを切りナットで固定した。

荷重の上昇ピッチは、主鉄筋の計算応力度( $\sigma_{s-cal}$ )が300kg/cm<sup>2</sup>になる荷重とし、 $\sigma_{s-cal}$ が2700kg/cm<sup>2</sup>および3500kg/cm<sup>2</sup>の荷重でそれぞれ10回の繰り返し載荷を行つたのち、破壊まで載荷した。

計測は、前記の荷重段階ごとに进行了。主鉄筋D51のひずみは、重ね継手部を中心にして25cm間隔に計測した。また、配筋およびスパイラル筋は、継手端部を中心にしてひずみの計測を行つた。クサビは、環に引張力が作用する方向にゲージを貼付し、ひずみを計測した。

ひびわれ幅は、コンタクトゲージを用いて重ね継手部を中心にして横ひびわれ、縦ひびわれを計測した。

	配筋	補強具	$\sigma_{ck}$ (kg/cm <sup>2</sup> )	継手長	表面形状
①	Φ9@150	なし	300	継手なし	A
②	"	"	"	25φ	"
③	"	"	"	"	B
④	D16@150	"	"	"	A
⑤	D22@150	"	"	"	"
⑥	Φ9@150	クサビ	"	20φ	"
⑦	"	スパイラル	"	"	"
⑧	D16@150	なし	240	25φ	"

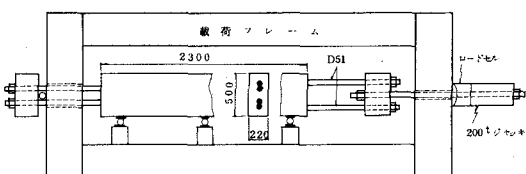


図-1 供試体形状と載荷方法

## 4 計測結果および考察

### 1) 主鉄筋の応力性状

重ね縦手部の付着応力分布は、 $\sigma_{s-cal}$ が2000 kg/cm<sup>2</sup>程度までは、縦手端部で大きく中央部で小さい凸型分布となるが、それ以上の引張応力に対しては、補強方法によりかなり異なることがわかる。いま、縦手端部の付着応力度をみると、図-2のようになる。図より明らかのように、配筋量をふやせば付着応力度を増大させる傾向があることがわかる。しかし、配筋を1.5 cm間隔で配置する場合、配筋D16とD22にきわめて差はみられなかった。スペイラル筋で補強した場合は、 $\lambda$ が2.0中であっても、 $\lambda$ が2.5中でD16@1.50で補強した場合よりも、付着応力度が大きく、良好な補強効果を示した。

### 2) 縦ひびわれ

$\sigma_{s-cal}$ と最大縦ひびわれ幅の関係は、図-3の通りである。縦ひびわれは、 $\sigma_{s-cal}$ が1800 kg/cm<sup>2</sup>程度になると、縦手端部で発生しあり、荷重の増大とともに幅が増大し、縦手全長にわたって進行した。配筋量が多いほど縦ひびわれ幅は小さい。中9@1.50の場合、 $\sigma_{s-cal}$ が3000 kg/cm<sup>2</sup>を超えると縦ひびわれ幅が急増し、付着破壊の前兆を示した。スペイラル筋で補強した場合は、縦ひびわれ幅の増大を防ぐ効果が、D16@1.50の場合と同程度であった。

### 3) 配筋および補強具の応力度

配筋および補強具には図-4に示すような応力度が発生した。配筋およびスペイラル筋の応力度は、いずれも縦手端部で最大値を生じた。配筋の応力度は、配筋量が多いほど小さいが、明確な反比例の関係はみられなかった。スペイラル筋の応力発生は、 $\sigma_{s-cal}$ が1800 kg/cm<sup>2</sup>程度からで、縦ひびわれ発生と一致する。また、応力度分布は重ね縦手中央部は、端部の1/2～1/4程度であった。クサビは、 $\sigma_{s-cal}$ が3000 kg/cm<sup>2</sup>程度から急激に応力度が増大する。これは、 $\sigma_{s-cal}$ が3000 kg/cm<sup>2</sup>程度までは、コンクリートの付着力によってのみ主鉄筋の応力伝達がなされているためと考えられる。

### 4) 破壊性状

各供試体の破壊時諸元を表-2に示す。 $\sigma_c$ が300 kg/cm<sup>2</sup>で $\lambda$ が2.5中の場合、配筋をD16@1.50に配置すれば、主鉄筋の降伏応力度( $\sigma_{sy} = 3500$  kg/cm<sup>2</sup>)を伝達できたが、中9@1.50の場合、 $\sigma_{s-cal}$ が3300 kg/cm<sup>2</sup>程度で割裂付着破壊を生じた。また、 $\sigma_c$ が2.0中でも、スペイラル筋およびクサビで補強した場合は、 $\sigma_{sy}$ を伝達することができた。

### 5まとめ

太径鉄筋の重ね縦手においては、縦ひびわれ幅の増大による割裂付着破壊が心配される。しかし、本試験の結果、配筋または補強具を用いて縦手部を補強すれば、所定の強度を得うることが明らかとなった。すなわち、 $\sigma_c$ が300 kg/cm<sup>2</sup>、 $\lambda$ が2.5中の場合、D16の配筋を1.5 cm間隔で配置すれば、降伏規格値を伝達でき、縦ひびわれ幅の増大による割裂付着破壊を生じないことが確認された。本工事にあたっては、構造物に作用する応力状態を考慮して、 $\lambda$ を2.5中とし、配筋(D16@1.50)により補強して施工することとした。

最後に、本試験に際し、港湾技術研究所の関室長に御指導いただいたことに對し、ここに感謝の意を表します。

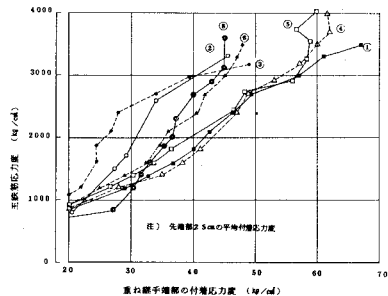


図-2 重ね縦手端部の付着応力度

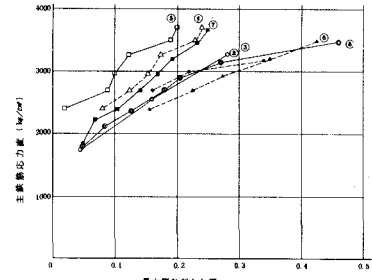


図-3 最大縦ひびわれ幅

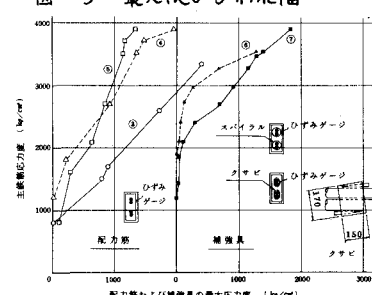


図-4 配筋および補強具の最大応力度

表-2 破壊時諸元

	Pmax (t)	$\sigma_{s-cal}$ (kg/cm²)	A <sub>s</sub> (kg/cm²)	T = Pmax UZ (kg/cm²)	T/T <sub>a</sub>	備考
①	142以上	3500以上	—	—	—	主鉄筋降伏
②	134	330.0	32.7	1.82	付着破壊	
③	"	"	"	"	"	
④	142以上	3500以上	34.7以上	1.93以上	—	主鉄筋降伏
⑤	"	"	"	"	"	
⑥	"	"	43.5以上	2.42以上	"	
⑦	"	"	"	"	"	
⑧	142	3500	34.7	2.17	付着破壊	

注)  $\sigma_c = 3108$  kg/cm<sup>2</sup>;  $T_a = 18$  kg/cm<sup>2</sup>;  $\sigma_c = 2200$  kg/cm<sup>2</sup>;  $T_a = 16$  kg/cm<sup>2</sup>とした。